МИНИСТЕРСТВО НАУКИ И ВЫСШЕГО ОБРАЗОВАНИЯ РОССИЙСКОЙ ФЕДЕРАЦИИ федеральное государственное бюджетное образовательное учреждение высшего образования «Тольяттинский государственный университет»

Институт машиностроения					
(наименование института полностью)					
Кафедра «Сварка, обработка материалов давлением и родственные процессы»					
(наименование)					
15.03.01 «Машиностроение»					
(код и наименование направления подготовки, специальности)					
«Современные технологические процессы изготовления деталей					
в машиностроении»					
(направленность (профиль)/специализация)					

ВЫПУСКНАЯ КВАЛИФИКАЦИОННАЯ РАБОТА (БАКАЛАВРСКАЯ РАБОТА)

na icmy _	ТСХНОЛОГИЯ	ИI	ооорудованис	рсмонта	3HCMCH10B	запорнои	
арматуры							
Студент			В.С. Сырцев				
			(И.О. Фамилия)		(личная	подпись)	
Руководит	ель		к.т.н., проф	рессор Г.М	[. Короткова		
			(ученая сте	епень, звание, И.	О. Фамилия)		
Консульта	нты	к.э.н., доцент О.М. Сярдова					
			(ученая сте	епень, звание, И.	О. Фамилия)		
			к.фм.н.,	доцент Д.А	А. Романов		
			(ученая сте	пень, звание, И.	О. Фамилия)		

Аннотация

Настоящая выпускная квалификационная работа посвящена решению вопроса повышения эффективности восстановления элементов запорной арматуры.

В результате анализа известных решений по рассматриваемому вопросу обоснован выбор способа восстановления, в качестве которого для построения проектной технологии предлагается применить плазменно-порошковую наплавку.

В работе составлена проектная технология восстановительной наплавки и рассмотрены особенности выполнения операций.

Выполнена идентификация опасных и вредных производственных факторов, действие которых сопровождает применение предлагаемых в настоящей выпускной квалификационной работе решений. Также рассмотрены вопросы обеспечения экологической безопасности и проведения экологического мониторинга рассматриваемого технического объекта.

Производительность труда повышается на 150 %. Уменьшение технологической себестоимости составило 48 %. При этом за счёт повышения производительности труда и снижения издержек удалось получить годовой экономический эффект в размере 1,75 млн. рублей. Средства, затраченные на внедрение предлагаемых в настоящей выпускной квалификационной работе решений, будут окуплены за 0,2 года.

Результаты настоящей выпускной квалификационной работы рекомендуются к внедрению на предприятиях, которые выполняют восстановление элементов запорной арматуры.

Содержание

Введение	5
1 Современное состояние восстановления элементов запорной	
арматуры	7
1.1 Конструкция и условия работы изделия	7
1.2 Сведения о материале изделия	9
1.3 Описание операций базового процесса восстановительной	
наплавки элементов запорной арматуры	10
1.4 Формулировка задач выпускной квалификационной работы	12
2 Построение проектной технологии восстановления элементов запорной	
арматуры	14
2.1 Механизированная наплавка элементов запорной арматуры	14
2.2 Применение наплавки порошковой проволокой и проволокой	
сплошного сечения для восстановления элементов запорной	
арматуры	17
2.3 Применение лазерной наплавки для восстановления элементов	
запорной арматуры	20
2.4 Обоснование выбора способа восстановления элементов	
запорной арматуры	24
2.5 Технология восстановительной плазменной наплавки	27
3 Обеспечение безопасности и экологичности предлагаемых	
технических решений	30
3.1 Конструктивно-технологическая характеристика	
рассматриваемого объекта	30
3.2 Идентификация профессиональных и производственных	
рисков	31
3.3 Методики и технические средства для устранения	
профессиональных рисков	33
3.4 Пожарная безопасность рассматриваемого технологического	

объекта	35
3.5 Вопросы обеспечения экологической безопасности	37
4 Экономическое обоснование предлагаемых в выпускной	
квалификационной работе решений	39
4.1 Анализ исходной информации по базовой и проектной	
технологиям	39
4.2 Оценка фонда времени работы оборудования	41
4.3 Оценка штучного времени при выполнении операций проектного	
и базового вариантов технологии	42
4.4 Расчёт заводской себестоимости при осуществлении операций	
технологического процесса по рассматриваемым вариантам	44
4.5 Капитальные затраты при реализации проектного и базового	
вариантов технологии	48
4.6 Показатели экономической эффективности	50
Заключение	52
Список используемой литературы и используемых источников	54

Введение

При построении технологических промысловых и магистральных трубопроводов на предприятиях нефтехимии значительное распространение получили задвижки, от правильности работы которых зависит безопасность персонала. Также на промысловых трубопроводах от правильности работы задвижек зависит безопасность работы устьевого оборудования.

Длительная эксплуатация запорной арматуры обеспечивается высокой стойкостью её элементов по отношению к коррозии и истиранию. Для того, чтобы повысить эксплуатационные характеристики запорной арматуры, поверхность шибера и сёдел, которые подвергаются коррозионному и эрозионному воздействию, покрывают защитным слоем. Длительная эксплуатация запорной арматуры вызывает износ её элементов.

Соблюдение требования энергосбережения и ресурсосбережения делает необходимым повсеместное применение технологий реновации, которые позволяют применять восстановленные детали машин вместо вновь приобретаемых деталей машин. Восстановление детали требует меньших затрат энергии и металла, чем изготовление новой детали. Также при возможности восстановления изношенной детали eë И повторного использования нет необходимости дожидаться поставок новых деталей или хранить запас деталей на складе.

Таким образом, следует признать приоритетным направлением развитие технологий наплавки и напыления при восстановлении деталей машин.

Кроме того, следует принимать во внимание, что современные технологии восстановления деталей машин позволяют не только восстановить рабочие размеры изношенной детали и её эксплуатационные свойства, но и существенно улучить характеристики восстановленной детали по отношению к вновь приобретаемой детали.

Вышеизложенное позволяет говорить о смене парадигмы машиностроительного производства и общества в целом. Изношенные детали из пассива превращаются в ценный ресурс, который может стать источником дополнительной экономической поддержки производства. Стирается грань между вторичными и первичными ресурсами.

Применительно запорной арматуре обеспечение eë работоспособности надёжности при длительной эксплуатации И обеспечивается при условии проведения восстановительной наплавки, которую следует выполнять с применением современных достижений в области И напыления. При возможно наплавки ЭТОМ многократное увеличение стойкости по отношению к эрозионному и коррозионному износу [9].

Вышеизложенное позволяет судить об актуальности выбранной темы выпускной квалификационной работы, которая может быть сформулирована как «Повышение эффективности восстановительной наплавки при ремонте элементов запорной арматуры нефтехимических предприятий».

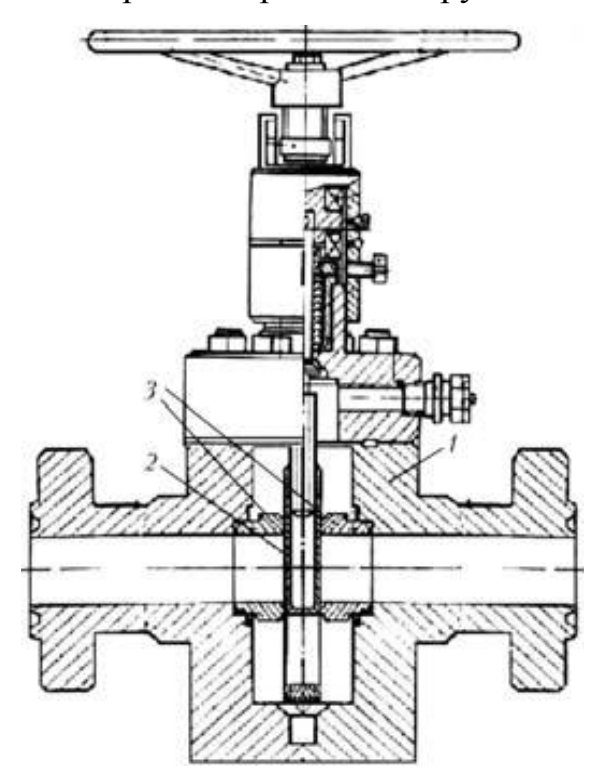
Достижение поставленной цели должно выполняться на основании изучения современных технологических решений, предложенных сварочному производству отечественными и зарубежными исследователями. С учётом настоящей специфики, характеризующей политическую и экономическую обстановку в России и за рубежом, предпочтение следует отдавать отечественным разработкам, внедрение которых в современное производство не потребует применения импортного оборудования и элементной базы [11], [14].

Таким образом, выпускная квалификационная работа направлена не только на повышение экономической эффективности отечественного производства, но и позволяет повысить защищённость Российской Федерации от возможных недружественных действий.

1 Современное состояние восстановления элементов запорной арматуры

1.1 Конструкция и условия работы изделия

На рисунке 1 представлена прямоточная задвижка, которая включает в себя стальной корпус (обозначен на рисунке позицией 1), запорный узел или шибер (обозначен на рисунке позицией 2), седла 3 (обозначены на рисунке позицией 3). К стальному корпусу задвижки предъявляются требования по прочности и точности изготовления [5]. Патрубки на оси корпуса имеют фланцы для присоединения к трубопроводу. Запорный узел (шибер) размещён в корпусе задвижки и может свободно перемещаться в вертикальном направлении. Движение шибера происходит между плотно прижатыми к нему седлами. Диаметр отверстий в нижней части шибера и сёдел соответствует диаметрам отверстий в патрубках.



1 – корпус с фланцами; 2 – шибер; 3 – седла

Рисунок 1 – Внешний вид и состав прямоточной задвижки

При нижнем положении шибера происходит перекрытие потока. При перемещении шибера задвижки вверх отверстия в шибере и сёдлах совмещаются, и задвижка переходит в открытое состояние. В этом случае передаваемая среда (нефть или газ) получает возможность свободного Прямоточная перетекания. задвижка имеет низкое гидравлические сопротивление, коэффициент которого не превышает 0,2, что выгодно отличает OTклиновых задвижек, коэффициент гидравлического ИΧ сопротивления который составляет 2...5 [6].

Затворные узлы задвижек имею уплотнение, которое работает по типу «металл-металл». Обеспечение герметичности такого узла обеспечивается подгонкой трущихся поверхностей. При этом высота неровностей при притирке должна составлять не более 0,2 мкм. Можно указать несколько причин износа трущихся частей задвижек. Первой причиной является действие твёрдых частиц породы, попадание которых возможно передаваемую среду. Второй причиной является коррозия в результате контакта агрессивными составляющими передаваемого продукта (углекислый газ и сероводород). Третьей причиной является воздействие на поверхность элементов задвижки турбулентного потока и возникающее при этом эрозионные разрушения.

При работе задвижки шибер длительное время находится в закрытом и открытом положении. Это приводит к отложению на его поверхности продуктов коррозии, «прикипанию» шибера и потере работоспособности задвижки. Для того, чтобы обеспечить высокие эксплуатационные свойства задвижки, необходимо обеспечить высокую твёрдость и стойкость против эрозии и коррозии. Шибер и сёдла задвижек выполнены их высокопрочных сталей, а на рабочие поверхности нанесено защитное покрытие. Длительная эксплуатация задвижки приводит к износу её элементов. Скорость и характер износа определяется такими факторами, как температура, физические свойства и состав транспортируемого продукта, периодичность циклов открывания.

1.2 Сведения о материале изделия

Элементы задвижки выполнены из стали 12X1MФ, которая относится к низколегированным жаропрочным сталям. В таблице 1 представлено содержание химических элементов в стали 12X1MФ [21], [22].

Таблица 1 – Содержание химических элементов в стали 12X1MФ

С	Si	Mn	Cr	Mo	V	S	P	Cu
0,08 -	0,17-	0,4 - 0,7	0,9 - 1,2	0,25 -	0,15 -	до 0,025	до 0,03	до 0,2
0,15	0,37			0,35	0,3			

За счёт содержания в стали хрома обеспечивается её высокая жаростойкость, которая проявляется в сопротивлению процессу окисления при повышенных температурах. При температурах эксплуатации до 450 °C хром способен предотвращать графитизацию. Также хром предотвращает графитизацию при выполнении сварочных работ.

Совместное содержание в стали молибдена и хрома позволяет повысить длительную прочность и сопротивление ползучести. Также молибден при сварке стали образует упрочняющий интерметаллид Fe₂Mo.

Содержащийся в стали ванадий позволяет повысить её прочность за счёт образования карбидов. Кроме того, ванадий обеспечивает равномерное распределение интерметаллидов по объёму металла сварного шва.

При сварке стали 12X1МФ приходится устранять сопровождающие трудности, к которым относят [22]: разупрочнение околошовной зоны, охрупчивание и образование холодных трещин.

Образование холодных трещин происходит по причине формирования при сварке неустойчивых структур. При этом опасными с точки зрения образования холодных трещин являются участки околошовной зоны, которые были нагреты до температуры выше 785 °C. Охрупчивание стали при сварке происходит по причине образования в ней закалочных структур: мартенсит, тростит и бейнит, что происходит при высокой скорости

охлаждения. Разупрочнение стали происходит в околошовной зоне в результате высокотемпературного отпуска и неполной перекристаллизации. Отрицательное действие разупрочнения проявляется при длительной работе в условиях повышенных температур.

1.3 Описание операций базового процесса восстановительной наплавки элементов запорной арматуры

Перед тем, как провести наплавку элементов арматуры, необходимо выполнить её демонтаж, который проводят с применением средств малой механизации. Далее демонтированную арматуру перемещают на восстановительный участок.

На восстановительном участке запорную арматуру разбирают, очищают и выполняют дефектацию элементов. При дефектации осматривают и измеряют рабочие поверхности, определяют наличие на них трещин и раковин.

Далее проводят подготовку поверхности элементов под наплавку. Зачищают поверхности и прилегающие участки на ширину не менее 10 мм. В процессе зачистки следует удалить заусенцы и загрязнения. Далее подготовленные под наплавку элементы передают на пост наплавки, который оснащён сварочным выпрямителем ВД-301 и балластным реостатом РБ. Для удаления сварочного аэрозоля применяется местная вытяжная вентиляция. Другие производственные участки ограждены от наплавочного участка светонепроницаемыми экранами.

Предварительный подогрев элементов запорной арматуры перед наплавкой проводят до температуры 150...300 °C. Нагрев ведут газовым пламенем. Температуру нагрева контролируют с применением контактной термопары.

После нагрева выполняют наплавку предварительного слоя, толщина которого составляет быть 2...3 мм. Наплавку ведут постоянным током

обратной полярности электродами ЦЛ-25 диаметром 3 мм, положение при наплавке – нижнее. Задают силу тока 60...80 А, напряжение на дуге 23...24 В.

После наплавки предварительного слоя с наплавленных поверхностей механическую обработку удаляют шлак проводят наплавленной поверхности до гладкого состояния на станке 1К62Ф3С. Значения параметров режима резания определяются диаметром обрабатываемых деталей: при диметре до 200 мм – следует устанавливать подачу 0,6...0,9 мм/об 90...110 И скорость резания M/MИH; при диаметре восстанавливаемого элемента запорной арматуры более 200 мм следует устанавливать подачу -1,2...1,4 мм/об, скорость резания -120...140 м/мин.

Далее выполняют наплавку рабочего слоя. Предварительный подогрев элементов запорной арматуры перед наплавкой проводят до температуры 150...300 °C. Нагрев ведут газовым пламенем. Температуру нагрева контролируют с применением контактной термопары.

Наплавку рабочего слоя ведут на постоянном токе обратной полярности электродами ЦН-6Л диаметром 3 мм. Задают силу тока 60...80 A, напряжение на дуге 23...24 В.

Для уменьшения выгорания легирующих элементов следует поддерживать минимальную длину дуги при наплавке, не превышающую диаметра электрода. Наплавляемый валик должен иметь ширину не более тройного диаметра электрода и перекрываться с предыдущим валиком не менее чем на одну треть от ширины.

Сразу же после наплавки проводят термическую обработку, температура нагрева составляет 640 °C, длительность выдержки составляет 1 час. Нагрев ведут в электрической печи СНО.

После остывания наплавленных элементов проводят визуальноизмерительный контроль по всей площади наплавленной поверхности. На поверхности не допускаются трещины, шлаковые включения и выходящие на поверхность поры. Далее проводят механическую обработку наплавленной поверхности до гладкого состояния на станке 1К62Ф3С. Значения параметров режима резания определяются диаметром обрабатываемых деталей: при диметре до 200 мм – следует устанавливать подачу 0,6...0,9 мм/об и скорость резания – 90...110 м/мин; при диаметре восстанавливаемого элемента запорной арматуры более 200 мм следует устанавливать подачу – 1,2...1,4 мм/об, скорость резания – 120...140 м/мин.

Далее проводят капиллярный контроль и замер твердости наплавленного слоя с применением твердомера ТН-320. Твёрдость наплавленного слоя должна быть 30...45 HRC.

Капиллярный контроль проводят с применением набора ДМК-4. Наносят на контролируемую поверхность проникающую жидкость и выдерживают в течение 15...20 минут, промывают поверхность раствором кальцинированной соды. Далее наносят на поверхность проявляющую суспензию. В результате осмотра выявляются дефекты размером от 0,6 мм.

1.4 Формулировка задач выпускной квалификационной работы

В настоящей работе преследуется цель – Повышение эффективности восстановительной наплавки при ремонте элементов запорной арматуры нефтехимических предприятий.

Базовая технология ремонтной сварки предусматривает применение ручной дуговой наплавки. Несмотря на высокую технологическую гибкость процесса ручной дуговой наплавки и малую стоимость оборудования, применение этого способа при восстановлении элементов запорной арматуры теряет свою актуальность [3], [15], [16]. Во-первых, при ручной дуговой наплавке наблюдается самый высокий процент участия основного металла в наплавкенном слое. Во-вторых, следует отметить низкую производительность и качество наплавки. В-третьих, ручная дуговая наплавка характеризуется тяжёлыми условиями труда.

Сформулированы задачи выпускной квалификационной работы:

- обоснование выбора способа наплавки элементов запорной необходимо арматуры, рассмотреть альтернативные способы наплавки, ИМ экспертную критериям дать оценку ПО технологичности, экономичности и долговечности;
- построение проектной технологии ремонтной наплавки элементов запорной арматуры, следует дать перечень технологических операций, сформулировать требования к выполнению каждой операции и назначить параметры режима обработки, выбрать необходимое технологическое оборудование;
- анализ предлагаемых в выпускной квалификационной работе решений на предмет экологической безопасности и обеспечения безопасности труда [1], [4].
- оценка экономической эффективности внедрения проектной технологии в производство, что позволит сделать вывод о достижении поставленной цели [12], [13].

2 Построение проектной технологии восстановления элементов запорной арматуры

2.1 Механизированная наплавка элементов запорной арматуры

В ходе эксперимента выполняли проверку эффективности различных способов восстановления элементов запорной арматуры.

Выполняли исследование образцов, для получения которых применялись следующие технологии:

- первый образец изготавливался целиком из стали 20X13, на его торцевой поверхности выполнили термическое упрочнение вольфрамовым электродом;
- второй образец изготавливался целиком из стали 20X13, проводили его объёмную закалку в печи;
- третий образец изготавливался целиком из стали 20, на его торцевую поверхность выполняли дуговую наплавку проволокой Св-20X13 диаметром 2 мм.

В качестве образцов применялись стальные цилиндры диаметром 40 мм. Для измерения твёрдости применялся твердомер ТК-2, представленный на рисунке 2-а. Перед измерением твёрдости при помощи механической обработки снимали поверхностный слой. На первом и втором образцах поверхностный слой снимали на толщину 0,4 мм. На третьем образце (с наплавкой) снимали поверхностный слой на толщину 2...2,5 мм.

Выполняли макроисследования с применением бинокулярного микроскопа МБС-9, который представлен на рисунке 2-б.

Выполняли химический анализ наплавленных образцов (образец № 3) для проверки соответствия состава наплавленного металла стали 20X13. Подготовку образцов для металлографических исследований выполняли в соответствии со стандартной методикой, которая представлена в работе [2].





Рисунок 2 – Оборудование, применяемое для исследования образцов: твердомер ТК-2 (a) и микроскоп МБС-9 (б)

Для проведения микрографического исследования образцов применялся микроскоп МИМ-7 с увеличением 500 крат. Для выявления структуры проводилась обработка образцов соответствующими реактивами, состав которых и режимы обработки представлены в работе [2].

В ходе проведения визуального исследования установлено, что на поверхности образца \mathbb{N}_2 1 (с поверхностной закалкой вольфрамовым электродом) и образца \mathbb{N}_2 3 (с дуговой наплавкой проволокой Св-20X13) обнаруживаются чередование темных и светлых участков в виде концентрических колец. На образце \mathbb{N}_2 (объёмная закалка) такие участки отсутствовали.

В ходе макроисследования, выполненного при увеличении 100 крат, установлено, что присутствующие на поверхности образцов чередующиеся светлые и темные участки являются областью с зернами металла, которые имеют различную ориентацию. В результате травления эти участки приобретают различные оттенки. На все трёх образцах обнаруживаются неметаллические включения, которые имеют глобулярную форму.

В ходе микроисследования установлено, что «на всех трёх образцах присутствует мартенсит. При этом на образце № 1 (поверхностное упрочнение неплавящимся электродом) обнаруживаются: участки мартенсита с явно выраженными границами зёрен, участки мартенсита без видимых границ, участки мартенсита с мелким зерном и выделениями

карбидов по границам зерна. На образце № 3 (с дуговой наплавкой проволокой Св-20X13) отмечается два типа структур: без явно выраженных границ и с явно выраженными границами зерен мартенсита. На образце № 2 (объёмная закалка) структура представляет из себя мартенсит с цепочками неметаллических включений» [20].

По результатам замера твёрдости установлено, что все образцы имеют твёрдость порядка 43...48 HRC. При этом твёрдость образцов № 1 (поверхностное упрочнение неплавящимся электродом) и № 2 объёмная закалка ниже в центре образца и выше ближе к его периферии. Твёрдость образца № 3 (с дуговой наплавкой проволокой Св-20X13) распределяется равномерно и составляет 47...49 HRC.

На основании проведённых исследований был сделан ряд выводов.

Во-первых, обосновано проведение анализа и поиска оптимального способа восстановления запорной арматуры в каждом конкретном случае. Для этого предлагается использовать ряд технологических критериев, экспертная оценка по которым каждого рассматриваемого способа позволит обосновать выбор способа восстановления элементов арматуры.

Во-вторых, при анализе рассматриваемых технологий восстановления выполнено металлографическое исследование наплавленных образцов. В ходе этого исследования не выявлено никаких отличий, что не позволяет судить о металлографии как о самостоятельном инструменте при выборе способа восстановления элементов арматуры. Металлография может рассматриваться только в совокупности с другими средствами оценки качества.

В-третьих, для восстановления рабочих элементов запорной арматуры может быть применена дуговая наплавка легированными сталями, которая позволяет повысить эксплуатационные свойства деталей и уменьшить затраты на изготовление за счёт использования материала основы с меньшей стоимостью.

2.2 Применение наплавки порошковой проволокой и проволокой сплошного сечения для восстановления элементов запорной арматуры

Проводились исследования по проверке эффективности механизированной автоматической наплавки элементов запорной арматуры и поиска оптимального состава наплавочных материалов [7].

В качестве наплавочных материалов применялись проволоки согласно [8], которые позволяют получать наплавленный металл, соответствующий по химическому составу стали 2X13, 13X25T и 11X11H2B2MФ.

Содержание химических элементов в проволоках сплошного сечения представлено в таблице 5. Также для наплавки была применена экспериментальная порошковая проволока ПП-2X14M2Б, предложенная российскими исследователями [17]. Содержание веществ в экспериментальной проволоке приведено в таблице 6.

Для наплавки применялся автомат АДГ-502, представленный на рисунке 3-а. Наплавку выполняли на продольные и кольцевые образцы, которые были изготовлены из стали 20. В качестве защитного газа применялся чистый аргон.

Для испытания на износостойкость применяли стенд, представленный на рисунке 3-б. «В качестве образцов использовались металлические цилиндры диаметром 50 мм. Верхний образец совершал возвратно-поступательные движения по поверхности нижнего образца. Амплитуда движения составляла 10 мм, скорость перемещения составляла 0,005 м/с. Нагрузка на образец составляла 500 кгс/см². Исследовалась стойкость наплавленного металла против образования задиров, для чего применялся микроскоп МИС-11» [7], который представлен на рисунке 4. В качестве критерия стойкости была принята величина давления на трущиеся поверхности, при котором образуется минимальный задир.

Таблица 5 — Содержание химических элементов в проволоках сплошного сечения для наплавки элементов запорной арматуры [8]

Марка проволоки		Состав проволоки, %						
	С	Si	Mn	Cr	Ni	W	Ti	проч.
Св-20Х13	0,16	0,6	0,6	13	0,15	-	-	-
Св-13Х25Т	0,15	0,8	0,8	24	0,2	-	0,4	_
Св-11Х11Н2В2МФ	0,13	0,5	0,65	12	1,5	1,8	-	Mo 0,5
								V 0,2

Таблица 6 — Содержание порошковой проволоки ПП-2X14M2Б для наплавки элементов запорной арматуры [17]

Наименование вещества	Содержание
Мрамор	4,86,0 %
Плавиковый шпат	6,49,5 %
Рутил	11,914,3 %
Графит	0,71,2 %
Феррохром	47,652,4 %
Ферромолибден	7,19,5 %
Феррониобий	3,67,1 %
Железный порошок	Остальное

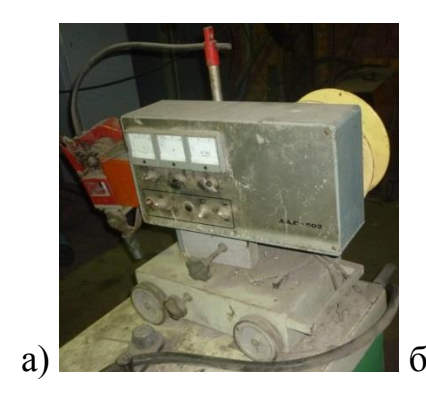




Рисунок 3 — Оборудование для проведения испытаний: автомат для сварки и наплавки в среде защитных газов АДГ-502 (а) и стенд для испытания на истирание (б)



Рисунок 4 – Микроскоп двойной МИС-11

Образцы, которые были наплавлены сталью 2X13 при давлении $200~\rm krc/cm^2$ сформировали задир через $300...400~\rm циклов$. При давлении $500~\rm krc/cm^2$ на этих же образцах задир формируется через $10...15~\rm циклов$.

Образцы, которые были наплавлены сталью 13X25T не выдерживали нескольких циклов нагружения и формировали задиры уже при давлении 200 кгс/см².

Образцы, которые были наплавлены сталью $11X11H2B2M\Phi$ при давлении $200~{\rm krc/cm}^2$ сформировали задир через $400~{\rm циклов}$. При давлении $500~{\rm krc/cm}^2$ на этих же образцах задир формируется через $100~{\rm циклов}$.

При наплавке образцов порошковой проволокой ПП-2X14M2Б испытания при давлении 500 кгс/см² вплоть до 600 циклов нагружения показали отсутствие задиров. При испытаниях с усилием 600 кгс/см² задиры начинают образовываться после 300...400 циклов нагружения. При испытаниях с усилием 700 кгс/см² задиры начинают образовываться после 50...60 циклов нагружения.

Микроструктура наплавленного металла при применении проволоки ПП-2X14M2Б представлена на рисунке 5. Наплавленный металл имеет мартенситную структуру.

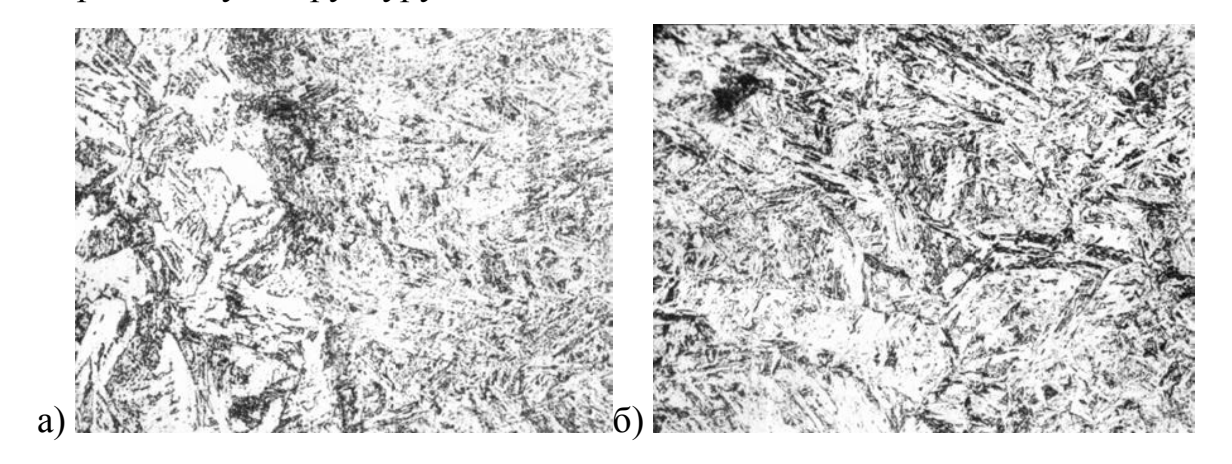


Рисунок 5 — Микроструктура наплавленного металла при применении проволоки ПП-2X14M2Б (x200): металл сварного шва (a) и переходной зоны (б)

По результатам исследования можно заключить, что при применении в качестве наплавочного материала порошковой проволоки ПП-2X14M2Б

стойкость наплавленного слоя против истирания и ресурс восстановленных элементов запорной арматуры по сравнению с ранее применяющейся проволокой 2X13 может быть увеличена в 1,8...2,2 раза.

2.3 Применение лазерной наплавки для восстановления элементов запорной арматуры

Проводились исследования по проверке эффективности лазерной наплавки элементов запорной арматуры и поиска оптимального состава наплавочных материалов [23].

В качестве объекта исследования взята уплотняющая поверхность тарелок клиновых задвижек, пример которой представлен на рисунке 6.

Для выполнения лазерной наплавки в качестве наплавочного порошка предложено использовать порошок на основе кобальта CoCrWNi.

Наплавку выполняли с использованием роботизированной установки Liser Line, которая представлена на рисунке 7. Аппаратура управления и питания комплекса роботизированной плазменной наплавки представлена на рисунке 8. Применяемый комплекс роботизированной лазерной наплавки имеет расширенные технологические возможности и позволяет получать покрытия с различными свойствами и составами. Позиционирование лазерной головки выполняется с точностью 1 мм.



Рисунок 6 – Уплотнительная поверхность тарелки клиновой задвижки

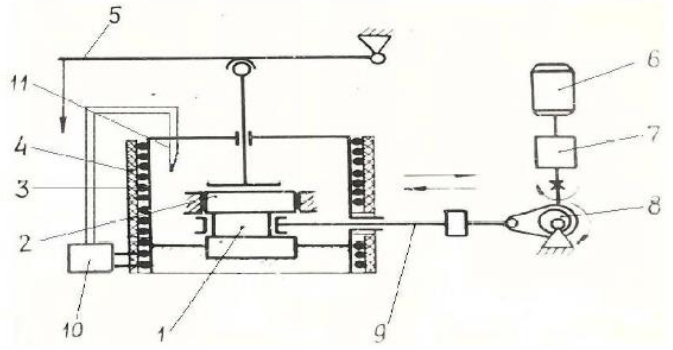


Рисунок 7 – Роботизированная установка для лазерной наплавки



Рисунок 8 – Аппаратура управления и питания комплекса роботизированной плазменной наплавки

Для проведения металлографических исследований применялся оптический микроскоп Axiovert 40 MAT. Для испытаний на задироустойчивость применялся специальный стенд, кинематическая схема которого представлена на рисунке 9.



«1, 2 – образцы; 3 – электронагреватель; 4 – кожух печи; 5 – нагружающее устройство; 6 – электродвигатель; 7 – редуктор; 8 – механизм подачи; 9 – подвижной шток; 10 – устройство регулировки температуры; 11 – термопара» [9]

Рисунок 9 — Кинематическая схема стенда для проведения испытания на задироустойчивость

Также в ходе исследований проводились эксперименты по выявлению влияния мощности лазерного излучения на характеристики наплавляемого покрытия. На рисунке 10 представлены валики наплавленного покрытия, выполненные при различных режимах.

По результатам проведённых исследований геометрии и химического состава наплавленных покрытий с применением лазерной наплавки и порошка CoCrWNi представлены в таблице 7.

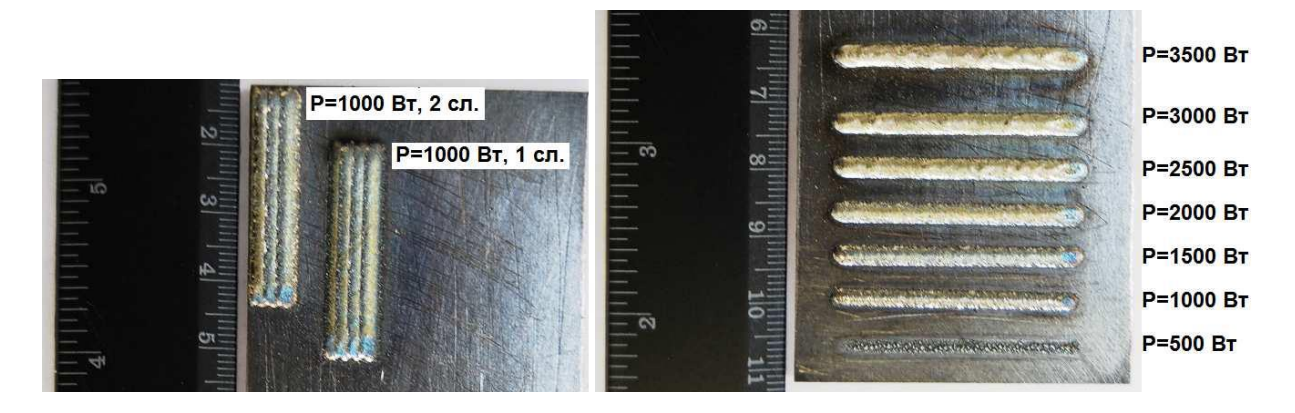


Рисунок 10 – Единичные валики, наплавленные на различных режимах

Таблица 7 – Результаты металлографического анализа наплавленных покрытий [23]

Мощность	Ширина	Высота	Глубина	3TB	Микротвёрдость
Вт	валика а,	валика b,	проплавления h,	hc,	поверхности HV
	МКМ	МКМ	MKM	MKM	
500	-	-	-	508	-
1000	2484	484	67	1034	475562
1500	3038	652	344	964	420452
2000	3209	539	1051	1010	361456
2500	3340	593	1109	718	290445
3000	3187	734	1284	644	447679
3500	3460	934	1349	1051	533600

Из таблицы 7 становится понятным, что увеличение мощности лазерного излучения приводит к увеличению размеров наплавленного валика и глубины проплавления основного металла. При этом наблюдается некоторое снижение среднего значения микротвёрдости. При мощности изучения 500 Вт и 1000 Вт не происходит стабильного проплавления основы. Оптимальным следует считать мощность 1500 Вт.

1500 B_T Мощность лазерного излучения позволяет получать стабильное проплавление основы минимальной толщины, которая составляет 550...600 мкм. Увеличение мощности приводит к усилению проплавления интенсификации основного металла, перемешивания основного наплавленного металлов, увеличению зоны термического влияния. Поэтому лазерного 1500 B_T применять мощность излучения выше при восстановительной лазерной наплавке элементов запорной арматуры не рекомендуется.

С применением представленного на рисунке 9 стенда проводилось исследование наплавленных образцов на стойкось по отношению к образованию задиров. Представленные на рисунке 11 образцы, полученные и использованием порошка на основе кобальта, не имеют задиров.



Рисунок 11 — Внешний вид наплавленных образцов после проведения испытаний на задироустойчивость

Результаты проведённых исследований позволяют сделать вывод о высокой перспективности технологии лазерной наплавки применительно к восстановлению элементов запорной арматуры. Предложенная технология позволяет не только восстанавливать элементы запорной арматуры, но и существенно повышать их эксплуатационные свойства по сравнению с вновь приобретаемыми. Отработанную технологию предлагается применить в массовом производстве.

2.4 Обоснование выбора способа восстановления элементов запорной арматуры

Проведён поиск и анализ источников научно-технической информации по вопросу повышения эффективности восстановительной наплавки элементов запорной арматуры.

В первой работе [9] показано, что наплавка на рабочие поверхности элементов запорной арматуры хромоникелевых сплавов с дополнительным легированием бором и кремнием позволяет получить наплавленный слой с высоким сопротивлением коррозионному и эрозионному износу. Восстановленные элементы запорной арматуры с применением этих сплавов обладают значительным рабочим ресурсом и могут эксплуатироваться в течение длительного времени.

Во-вторых, в ходе проведённых экспериментов установлено, что для того, чтобы обеспечить высокие эксплуатационные качества восстановленных элементов запорной арматуры, толщина наплавленного слоя должна быть не менее 1,5 мм.

Таким образом, на основании этой работы сформулированы требования к толщине наплавляемого слоя, которая должна быть не менее 1,5 мм. Результаты этой работы будут использованы при построении проектной технологии восстановительной наплавки элементов запорной арматуры.

Во второй работе [19] проведены исследования зависимости структурного состояния наплавленного металла от исходной структуры и состава присадочного порошка ПГ-10Р6М5 при выполнении плазменно-порошкойо наплавки. Показана высокая эффективность предлагаемой технологии при восстановительной наплавке

Результаты этой работы будут использованы при обосновании выбора способа восстановления элементов запорной арматуры и построении проектной технологии наплавки.

В третьей работе [20] на основании сравнительных испытаний доказано, что для восстановления рабочих элементов запорной арматуры может быть применена дуговая наплавка легированными сталями, которая позволяет повысить эксплуатационные свойства деталей и уменьшить затраты на изготовление за счёт использования материала основы с меньшей стоимостью.

Результаты этой работы будут использованы при обосновании выбора способа восстановления элементов запорной арматуры и построении проектной технологии наплавки.

В четвёртой работе [7] показана высокая эффективность восстановления элементов запорной арматуры с применением порошковой проволоки. В качестве проволоки предлагается использовать разработанную россискими учеными проволоку ПП-2X14М2Б. По результатам исследования можно заключить, что при применении в качестве наплавочного материала порошковой проволоки ПП-2X14М2Б стойкость наплавленного слоя против истирания и ресурс восстановленных элементов запорной арматуры по сравнению с ранее применяющейся проволокой 2X13 может быть увеличена в 1,8...2,2 раза.

Результаты этой работы будут использованы при обосновании выбора способа восстановления элементов запорной арматуры и построении проектной технологии наплавки.

пятой работе [23] представлены результаты исследования эффективности роботизированной лазерной наплавки для восстановления элементов запорной арматуры. Предложенная технология позволяет не только восстанавливать элементы запорной арматуры, но и существенно эксплуатационные свойства ПО сравнению повышать ИΧ вновь приобретаемыми. Отработанную технологию предлагается применить в массовом производстве.

Результаты этой работы будут использованы при обосновании выбора способа восстановления элементов запорной арматуры и построении проектной технологии наплавки.

Таким образом, наиболее перспективными и дающими высокий технологический эффект способами восстановления элементов запорной арматуры можно признать: наплавку порошковой проволокой, наплавку в защитных газах проволокой сплошного сечения, плазменную наплавку и лазерную наплавку.

На основании работы [18] составлена таблица 8 по эффективности применения различных способов наплавки при восстановлении элементов запорной арматуры.

Таблица 8 – Эффективность применения различных способов наплавки при восстановлении элементов запорной арматуры [18]

Способ	Производи-	Доля	Толщина	Спла	вы дл	R
	тельность,	основного	наплавленного	напл	авки	
	кг/ч	металла, %	слоя, мм	на ос	снове	
				Co	Ni	Fe
«Ручная дуговая	0,4-3,5	10-30	3-5	+	+	++
покрытыми электродами						
Лазерная наплавка	1-3	20-50	4-6	++	+	-
Дуговая порошковой	2,5-10	30-60	3-5	+	-	++
проволокой						
Дуговая плавящимся	1,5-9	30-60	3-5	+	+	+
электродом в защитном						
газе						
Плазменно-порошковая»	0,5-6	5-10	1-6	++	++	+
[18]						

^{«++» –} Применяют широко; «+» – Применяют ограниченно; «-» – Не применяют.

На основании проведённого анализа источников научно-технической информации по вопросу повышения эффективности восстановительной наплавки элементов запорной арматуры для построения проектной технологии предложим применить плазменно-порошковую наплавку, которая позволяет получить сочетание высокой производительности с минимальным проплавлением основного металла.

2.5 Технология восстановительной плазменной наплавки

В проектной технологии предлагается использовать универсальную установку ОБ-2184 для плазменной наплавки, которая представлена на рисунке 12.

Предварительный подогрев элементов запорной арматуры перед наплавкой проводят до температуры 120...150 °C. Нагрев ведут с применением электрической печи СНО, которая представлена на рисунке 13.

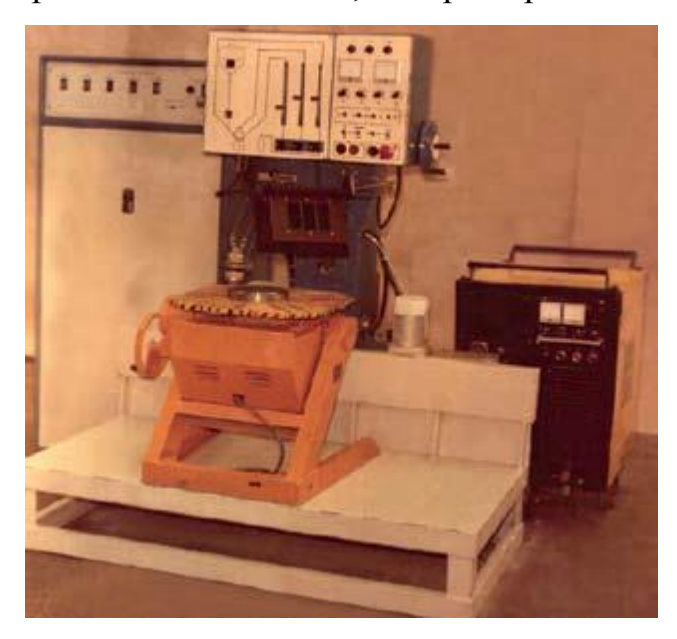


Рисунок 12 - Универсальная установка для плазменной наплавки ОБ-2184



Рисунок 13 – Печь электрического нагрева СНО

Толщина наплавки предварительного слоя составляет 3 ± 0.5 мм. Значения параметров режима наплавки: сила тока -180...190 А; напряжение -30...32 В; расход порошка -12...14 г/мин; расход плазмообразующего газа -1.2...2 л/мин; частота колебания плазматрона -0.4...0.5 Гц; фракция порошка - не более 100 мкм.

После механической обработки выполняют дробеструйную обработку элементов запорной арматуры в дробемётной камере Avan-blast TL-H D3, которая представлена на рисунке 14.



Рисунок 14 – Дробемётная камера Avan-blast TL-H D3

Далее проводят наплавку рабочего слоя. Значения параметров режима наплавки: сила тока -180...190 А; напряжение -30...32 В; расход порошка -12...14 г/мин; расход плазмообразующего газа -1,2...2 л/мин; частота колебания плазматрона -0,4...0,5 Γ ц; фракция порошка - не более 100 мкм.

После наплавки рабочего слоя проводят механическую обработку на режимах согласно базовой технологии.

Далее проводят капиллярный контроль и замер твердости наплавленного слоя с применением твердомера ТН-320. Твёрдость наплавленного слоя должна быть 30...45 HRC.

Капиллярный контроль проводят с применением набора ДМК-4. Наносят на контролируемую поверхность проникающую жидкость и выдерживают в течение 15...20 минут, промывают поверхность раствором кальцинированной соды. Далее наносят на поверхность проявляющую суспензию. В результате осмотра выявляются дефекты размером от 0,6 мм.

В ходе выполнения второго раздела выпускной квалификационной работы выполнено обоснование выбора способа наплавки. Рассмотрены альтернативные способы наплавки, получена экспертная оценка по критериям технологичности и долговечности наплавленного слоя.

На основании проведённого анализа источников научно-технической информации по вопросу повышения эффективности восстановительной наплавки элементов запорной арматуры для построения проектной технологии предложено применить плазменно-порошковую наплавку, которая позволяет получить сочетание высокой производительности с минимальным проплавлением основного металла.

Выполнено построение проектной технологии ремонтной наплавки элементов запорной арматуры, дан перечень технологических операций, сформулированы требования к выполнению каждой операции и назначены параметры режима обработки, выбрано необходимое технологическое оборудование.

Дальнейшее выполнение выпускной квалификационной работы предусматривает разработку оценочного блока [10] в котором предстоит оценить экологичность предложенных в работе решений и дать оценку на предмет обеспечения безопасности труда [1], [4].

Также при выполнении оценочного блока предстоит оценить возможный экономический эффект при внедрении предлагаемых решений в производство [12], [13].

3 Обеспечение безопасности и экологичности предлагаемых технических решений

3.1 Конструктивно-технологическая характеристика рассматриваемого объекта

Настоящая выпускная квалификационная работа посвящена решению вопроса повышения эффективности восстановления элементов запорной арматуры. Выполненный анализ состояния вопроса позволил обосновать выбор способа восстановления, в качестве которого для построения проектной технологии предлагается применить плазменно-порошковую наплавку. Укрупнённо проектный технологический процесс восстановления вала можно условно разделить на шесть операций. Первой операцией технологического процесса является подготовка дефектного участка на детали. Выполнение этой операции происходит с применением моечной машины и дробеструйной камеры. Вторая операция технологического процесса – предварительный подогрев, который происходит с применением печи СНО. Третья операция технологического процесса – плазменная наплавка, которая происходит с применением установки для плазменнопорошковой наплавки. Четвёртая операция технологического процесса – термическая обработка, которая происходит с применением термической печи СНО. Пятая операция технологического процесса – механическая обработка, которая происходит с применением токарного станка. Шестая технологического процесса – контроль качества, выполняется с применением набора для визуально-измерительного контроля, твердомера и дефектоскопа.

Особенности выполнения операций и применяемого технологического оборудования представлены в таблице 9.

Таблица 9 – Технологический паспорт технического объекта

Наименование	Привлекаемый для	Перечень применяемого	Применяемые
технологической	выполнения	на операции	материалы и
операции в	операции персонал	технологического	вещества
соответствии с		оборудования	
проектным			
процессом			
1. «Подготовка	Слесарь-сборщик	Машина моечная,	Моющий раствор,
дефектного		дробеструйная камера,	вода техническая,
участка		щетка металлическая	ацетон, дробь
			стальная
2. Проведение	Электросварщик	Электроопечь СНО	-
предварительного			
подогрева			**
3. Наплавка на	Электросварщик	Источник питания	Наплавочный
дефектное место		плазменной установки,	порошок, аргон
		плазменная установка	
4. Термическая	Слесарь-сборщик	Электроопечь СНО	-
обработка			
5. Механическая	Слесарь-сборщик	Токарный станок	СОЖ
обработка			
6. Контроль	Дефектоскопист	Лупа, дефектоскоп,	масло
качества» [18]		штангенциркуль,	
		твердомер	

Представленные в таблице 9 особенности выполнения операций технологического процесса позволят в дальнейшем идентифицировать опасные производственные факторы и предложить методы защиты от них.

3.2 Идентификация профессиональных и производственных рисков

При проведении операций технологического процесса, который был разработан в ходе выполнения настоящей выпускной квалификационной профессиональные работы, возникают И производственные риски, источником которых являются опасные и вредные факторы. Наличие этих особенностями выполнения факторов обусловлено каждой технологического процесса, которые были рассмотрены выше. В таблице 10 представлены результаты идентификации возникающих профессиональных

рисков. В данном случае источниками возникновения производственных рисков становится технологическое оборудование, размещённое на участке восстановления: моечная машина, воздушный компрессор, наплавочная установка, дробеструйная камера, электрическая печь.

Таблица 10 — Выявление и анализ источников возникновения производственных рисков

Наименование операции в соответствии с проектным процессом 1. Подготовка	Формулировка вредного или опасного фактора, который возникает в процессе выполнения данной операции технологического процесса - острые кромки, заусенцы и шероховатость на поверхностях
дефектного	заготовок, инструментов и оборудования;
участка	- движущиеся машины и механизмы; подвижные части
	производственного оборудования;
	- повышенная запыленность и загазованность воздуха рабочей зоны;
	- повышенное значение напряжения в электрической цепи, замыкание
	которой может произойти через тело человека
2. Проведение	- повышенное значение напряжения в электрической цепи, замыкание
предварительного	которой может произойти через тело человека;
подогрева	- повышенная температура поверхностей оборудования, материалов
3. Наплавка на	- повышенное значение напряжения в электрической цепи, замыкание
дефектное место	которой может произойти через тело человека
	- повышенная температура поверхностей оборудования, материалов;
	- ультрафиолетовое излучение в рабочей зоне сверх безопасных
	значений;
	- инфракрасное излучение в рабочей зоне сверх безопасных значений
4 T	уровня инфракрасной радиации
4. Термическая	- острые кромки, заусенцы и шероховатость на поверхностях
обработка	заготовок, инструментов и оборудования;
	- движущиеся машины и механизмы; подвижные части
	производственного оборудования;
5 M	- повышенная запыленность и загазованность воздуха рабочей зоны
5. Механическая	- острые кромки, заусенцы и шероховатость на поверхностях
обработка	заготовок, инструментов и оборудования;
	- движущиеся машины и механизмы; подвижные части
	производственного оборудования; - повышенная запыленность и загазованность воздуха рабочей зоны;
	- повышенная запыленность и загазованность воздуха расочей зоны, - повышенное значение напряжения в электрической цепи, замыкание
	- повышенное значение напряжения в электрической цепи, замыкание которой может произойти через тело человека
6. Контроль	- ультразвуковое излучение в рабочей зоне сверх значений
качества	безопасных для здоровья.
качества	осзопасных кир здоровья.

На основании результатов исследований проектного технологического процесса на предмет выявления производственных и профессиональных рисков, которые представлены в таблице 4, выделено семь негативных производственных факторов:

- острые кромки, заусенцы и шероховатость на поверхностях заготовок, инструментов и оборудования,
- движущиеся машины и механизмы; подвижные части производственного оборудования,
- повышенная запыленность и загазованность воздуха рабочей зоны,
- повышенное значение напряжения в электрической цепи,
 замыкание которой может произойти через тело человека,
- повышенная температура поверхностей оборудования, материалов,
- инфракрасное излучение в рабочей зоне сверх безопасных значений уровня инфракрасной радиации,
- ультразвуковое излучение в рабочей зоне сверх безопасных значений.

Выявленные негативные факторы ранее возникали в других технологических процессах, являются известными и могут быть устранены.

Дальнейшие работы предусматривают обоснование выбора стандартных методик и технических средств. В крайнем случае, необходимо будет предусмотреть разработку специализированных методик.

3.3 Методики и технические средства для устранения профессиональных рисков

Ранее выполненная идентификация профессиональных рисков, представленная в таблице 10, позволяет выработать решения по обеспечению безопасности производственного процесса, которые представлены в таблице 11.

Таблица 11 — Предлагаемые методики и технические средства для обеспечения производственной безопасности

Формулировка вредного или опасного фактора, который возникает в процессе выполнения данной операции технологического процесса	Перечень организационных мероприятий и технических средств, обеспечивающих устранение вредного производственного фактора	Средства индивидуальной защиты
1) острые кромки, заусенцы и шероховатость на поверхностях заготовок, инструментов и оборудования	1) организация и проведение периодического инструктажа работников на предмет соблюдения техники безопасности 2) оснащение рабочих мест предупреждающими плакатами и табличками	Специальная одежда, перчатки, защитные очки
2) движущиеся машины и механизмы; подвижные части производственного оборудования	1) оснащение рабочих мест предупреждающими плакатами и табличками 2) устройства защитного отключения привода станков 3) ограничение проникновения персонала в опасную зону применением ограждений	Специальная одежда, перчатки, защитные очки
3) повышенная запыленность и загазованность воздуха рабочей зоны	устройства местного удаления загрязненного воздуха и общеобменной вентиляции	Индивидуальные средства защиты дыхательных путей
4) повышенное значение напряжения в электрической цепи, замыкание которой может произойти через тело человека	1) контроль изоляции и заземления 2) организация и проведение периодического инструктажа работников на предмет соблюдения техники безопасности 3) защитное заземление, защитное отключение	Специальная одежда, перчатки, резиновые коврики
5) повышенная температура поверхностей оборудования, материалов	1) организация и проведение периодического инструктажа работников на предмет соблюдения техники безопасности 2) оснащение рабочих мест предупреждающими плакатами и табличками	Специальная одежда, перчатки
6) инфракрасное излучение в рабочей зоне сверх безопасных значений уровня инфракрасной радиации	1) ограничение проникновения персонала в опасную зону применением ограждений 2) защитные экраны	Специальная одежда, перчатки, защитные маски
7) ультрафиолетовое излучение в рабочей зоне сверх безопасных значений	1) ограничение проникновения персонала в опасную зону применением ограждений 2) защитные экраны	Специальная одежда, перчатки, защитные маски

Для защиты от негативных производственных факторов предлагается проведение организационных мероприятий, применение защитных методик и технических средств.

Представленные в таблице 11 технические средства и мероприятия позволяют устранить негативные производственные факторы и обеспечить требуемую безопасность персонала при выполнении проектного технологического процесса.

3.4 Пожарная безопасность рассматриваемого технологического объекта

При операций выполнении предлагаемого проектного технологического процесса кроме возникновения негативных производственных факторов существует опасность возникновения пожара. В первую очередь это связано с тем, что сварочные и наплавочные работы являются источником высокой температуры и излучения. Для защиты предприятия OT возможного возникновения пожара следует идентифицировать опасные факторы возможного пожара на рассматриваемом производственном участке, что показано в таблице 12.

Таблица 12 – Идентификация классов и опасных факторов пожара

Наименование участка	Участок, на котором осуществляется ремонтная
	наплавка
Наименование оборудования	моечная машина, воздушный компрессор, наплавочная
	установка, дробеструйная камера, электрическая печь
Классификация по виду	пожары, которые происходят за счет воспламенения и
горящего вещества	горения веществ и материалов на электроустановках,
	запитанных электрическим напряжением (Е)
Наименование основных	Резкое повышение температуры на участке и вокруг
опасных факторов пожара	него; выделение при горении токсичных продуктов и
	угарного газа; выделение аэрозолей, снижающих
	видимость на участке и вокруг него.
Наименование вторичных	Короткие замыкания на оборудовании, запитанным
опасных факторов пожара	высоким электрическим напряжением; действие на
	людей, находящихся в районе возгорания продуктов
	разложения составов, используемых для
	пожаротушения

На основании данных таблицы 12 возможный пожар, который может произойти на рассматриваемом производственном участке, относится к классу «Е», который предполагает горение материалов и веществ при наличии опасного напряжения.

Основными негативными факторами возможного пожара являются тепловой поток, разлетающиеся искры, повышенная температура воздуха, открытое пламя, токсические продукты термического разложения и горения,

плохая видимость вследствие задымления, снижение концентрации кислорода в воздухе.

Также следует указать на наличие сопутствующих отрицательных проявлений пожара, к которым относят нарушение целостности изоляции и порчу электрического оборудования, отравление персонала используемыми при тушении химическими веществами, порчу оборудования используемыми при тушении химическими веществами.

В таблице 13 приведены технические средства по устранению этих факторов.

Таблица 13 — Технические средства, обеспечивающие устранение опасных факторов при пожаре

Первичные средства пожаротушения	Емкость с песком, переносные
	углекислотные огнетушители.
Мобильные средства пожаротушения	Специализированные расчеты
	(вызываются)
Стационарные установки системы	Нет необходимости
пожаротушения	
Средства пожарной автоматики	Установки пожарной сигнализации,
	пожарного оповещения
Пожарное оборудование	Пожарный кран
Средства индивидуальной защиты и	План эвакуации
спасения людей при пожаре	
Пожарный инструмент (механизированный	Ведро конусное, лом, лопата штыковая
и немеханизированный)	
Пожарные сигнализация, связь и	Кнопка оповещения, звуковые
оповещение	оповещатели, речевые оповещатели,
	световые оповещатели

Пожарная безопасность рассматриваемого производственного участка обеспечивается а счёт применения различных технических средств. В качестве первичных средств тушения применяются: огнетушители, ящик с песком, кошма. В качестве средств индивидуальной защиты применяется план эвакуации. В качестве пожарного инструмента применяется топор, багор и лопата. В качестве средств оповещения применяются речевые, световые и звуковые оповещатели.

3.5 Вопросы обеспечения экологической безопасности

Реализация предлагаемых в настоящей выпускной квалификационной работе технических решений приводит к возникновению негативного антропогенного действия на окружающую среду. Следование мировой экологической повестки заставляет современное предприятие проводить мероприятия по обеспечению экологической безопасности производственных процессов. При этом следует обеспечить защиты основных элементов нашего ареала обитания: атмосферы, гидросферы и литосферы.

В таблице 14 приведены негативные воздействия на окружающую среду, которые возникают при выполнении операций проектного технологического процесса.

Таблица 14 – Идентификация негативных экологических факторов

Операция	атмосфера	гидросфера	литосфера	
1. Подготовка	-	-	частицы упаковки, бытовой	
дефектного участка			мусор	
2. Проведение	вредные	масло	частицы упаковки, бытовой	
предварительного	испарения		мусор	
подогрева				
3. Наплавка на	вредные	масло	отходы шлака, частицы	
дефектное место	испарения		упаковки, бытовой мусор	
4. Термическая	вредные	масло	частицы упаковки,	
обработка	испарения		бытовой мусор	
5. Механическая	вредные	масло	отходы шлака, частицы	
обработка	испарения		упаковки, бытовой мусор	
6. Контроль качества	вредные	масло	частицы упаковки,	
	испарения		бытовой мусор	

На основании анализа данных в таблице 14 могут быть предложены технические средства и организационные мероприятия, применение которых позволит устранить влияние на окружающую среду негативного антропогенного фактора или уменьшить его влияние до приемлемого уровня. Предлагаемые средства для этого представлены в таблице 15 и включают в себя набор стандартных методик и технических средств.

Таблица 15 – Предложенные мероприятия по уменьшению антропогенного действия на окружающую среду при реализации проектной технологии

Наименование	Производственный участок сборки и сварки с установленным на			
технического объекта	нём технологическим оборудованием			
За счёт чего снижается	«Применение специальных фильтров, устанавливаемых в			
антропогенное	вентиляционную систему цеха, которые позволяют собирать и			
действие на атмосферу	утилизировать выделяющиеся при работе технологического			
	оборудования вредные вещества» [1]			
За счёт чего снижается	«Контролировать утечки машинного масла из гидравлической			
антропогенное	системы технологического оборудования, в случае			
действие на	возникновения таких утечек их следует незамедлительно			
гидросферу	устранять» [1]			
За счёт чего снижается	«На производственном участке необходимо выполнить			
антропогенное	установку ёмкостей, которые позволяют провести селективный			
действие на литосферу	сбор получаемых при выполнении технологического процесса			
	отходов. Проведение инструктажа персонала о необходимости			
	соблюдения мер по сбору мусора» [1]			

Таким образом, предложенные мероприятия позволяют уменьшить антропогенное воздействие на окружающую среду.

Выполнение операций проектного технологического процесса, который был представлен в исполнительском разделе настоящей выпускной квалификационной работы, приводит к возникновению негативных производственных факторов и негативных экологических факторов.

Выполненная идентификация этих негативных факторов позволила предложить стандартные методики и технические средства для защиты персонала и окружающей среды.

4 Экономическое обоснование предлагаемых в выпускной квалификационной работе решений

4.1 Анализ исходной информации по базовой и проектной технологиям

Настоящая выпускная квалификационная работа посвящена решению вопроса повышения эффективности восстановления элементов запорной арматуры. Выполненный анализ состояния вопроса позволил обосновать выбор способа восстановления, в качестве которого для построения проектной технологии предлагается применить плазменно-порошковую наплавку. Укрупнённо проектный технологический процесс восстановления вала можно условно разделить на шесть операций. Первой операцией технологического процесса является подготовка дефектного участка на детали. Выполнение этой операции происходит с применением моечной машины и дробеструйной камеры. Вторая операция технологического процесса – предварительный подогрев, который происходит с применением печи СНО. Третья операция технологического процесса – плазменная наплавка, которая происходит с применением установки для плазменнопорошковой наплавки. Четвёртая операция технологического процесса – термическая обработка, которая происходит с применением термической печи СНО. Пятая операция технологического процесса – механическая обработка, которая происходит с применением токарного станка. Шестая операция технологического процесса – контроль качества, выполняется с применением набора для визуально-измерительного контроля, твердомера и дефектоскопа.

В таблице 16 представлены исходные данные для проведения экономических расчётов по рассматриваемым вариантам технологии сборки и сварки с учётом рыночной стоимости используемого оборудования и вспомогательных затрат.

Таблица 16 – Исходные данные для проведения экономических расчётов по рассматриваемым вариантам технологии

Экономический показатель	Принятое в расчётной формуле буквенное обозначение	Единица измерения экономическо го показателя	Значение экономического показателя применительно к базовой и проектной технологиям	
	показателя		Базовая технология	Проектная технология
«Число рабочих смен в сутках	К _{см}	-	1	1
Разряд работников	Pp	-	V	V
Часовая тарифная ставка	Сч	Р/час	200	200
Коэффициент доплат	Кдоп	%	12	12
Коэффициент отчислений на дополнительную ЗП	$K_{\scriptscriptstyle \mathcal{I}}$	-	1,88	1,88
Коэффициент отчислений на социальные нужды	Ксн	%	34	34
Коэффициент выполнения нормы	Квн	-	1,1	1,1
Стоимость оборудования	Цоб	руб.	200 тыс.	600 тыс.
Норма амортизации	Ka	%	21,5	21,5
оборудования				
Мощность оборудования	Муст	кВт	25	40
Коэффициент транспортно-	Кт -з	%	5	5
заготовительных расходов	***	D/ D	2.4	2.4
Стоимость электрической	Цэ-э	Р/ кВт	3,4	3,4
Унергии	ит		0.7	0.7
Коэффициент полезного действия	КПД	-	0,7	0,7
Коэффициент затрат на монтаж	Кмон	%	3	5
и демонтаж оборудования	Кдем			
Площадь под оборудование	S	M ²	50	50
Стоимость эксплуатации	Сэксп	(P/м²)/год	2000	2000
площадей	11	P/M^2	30000	30000
Цена производственных площадей	Цпл	I / M	30000	30000
Норма амортизации площади	На.пл.	%	5	5
Коэффициент дополнительной	Кпл	-	3	3
производственной площади				
Коэффициент эффективности	Ен	-	0,33	0,33
капитальных вложений				
Коэффициент цеховых расходов	Кцех	-	1,5	1,5
Коэффициент заводских	Кзав	-	1,15	1,15
расходов» [12]				

Дальнейшие расчёты с использованием представленных выше данных предполагают оценку затрат на осуществление технологического процесса по проектному и базовому вариантам.

4.2 Оценка фонда времени работы оборудования

При выполнении операций проектного технологического процесса и базового технологического процесса происходит работа оборудования в течение заданного времени. Величина заработной платы и вспомогательных затрат рассчитываются с учётом фонда времени работы оборудования, который следует рассчитать по исходным данным, представленным выше. Также следует принимать во внимание, что время работы оборудования позволяет рассчитать амортизационные отчисления затраты производственные площади. В проектном технологическом процессе и базовом технологическом процессе предусматривается выполнение операций в течение одинакового количества смен. Поэтому годовой фонд времени для проектного технологического процесса по отношению к годовому фонду времени базового технологического процесса не изменится.

Количество рабочих дней для одного года принимаем равным $Д_p$ =277, при этом продолжительность рабочей смены составляет T_{cm} =8 часов. Также следует принимать во внимание уменьшение рабочей смены на величину T_n =1 час в предпраздничные дни, количество которых для одного календарного года составляет $Д_n$ =7 дней. Для количества рабочих смен K_{cm} =1 рассчитываем годовой фонд времени:

$$F_{H} = (\coprod_{p} \cdot T_{cM} - \coprod_{\Pi} \cdot T_{\Pi}) \cdot K_{cM}.$$
 (1)

Представленные выше исходные значения позволяют получить расчётную величину: $F_{\rm H} = (277.8 - 7.1).1 = 2209$ часов. Значение эффективного фона рабочего времени следует вычислить с учётом задаваемых потерь рабочего времени B=7%:

$$F_9 = F_H (1-B/100). (2)$$

Представленные выше исходные значения позволяют получить расчётную величину: $F_3 = 2209 \cdot (1 - 7/100) = 2054$ часов.

4.3 Оценка штучного времени при выполнении операций проектного и базового вариантов технологии

Величину штучного времени, которое будет затрачиваться на выполнение операций проектного технологического процесса и базового технологического процесса, рассчитываем с учётом нормирования труда по выполняемым операциям согласно технологической карте. Штучное время $t_{\text{шт}}$ включает в себя затраты времени на выполнение основных операций проектного и базового технологического процессов (машинное время $t_{\text{маш}}$), подготовительных и вспомогательных операций (вспомогательное время $t_{\text{всп}}$), личный отдых (время отдыха $t_{\text{отд}}$), подготовительно-закючительное время $t_{\text{п-3}}$ и времени на мелкий ремонт и обслуживание оборудования (время обслуживания $t_{\text{обсп}}$):

$$t_{\text{IIIT}} = t_{\text{MAIII}} + t_{\text{BCII}} + t_{\text{OбCII}} + t_{\text{ОТЛ}} + t_{\text{II-3}}. \tag{3}$$

Представленные выше исходные значения позволяют получить расчётную величину: $t_{\text{шт.баз}} = 1,5 \cdot (100\% + 10\% + 5\% + 5\% + 1\%) = 1,89$ часа и $t_{\text{шт.проектн.}} = 0,6 \cdot (100\% + 10\% + 5\% + 5\% + 1\%) = 0,76$ часа.

Размер годовой программы Π_r рассчитывается с учётом рассчитанных выше штучного времени для проектного и базового вариантов технологи, а также с учётом ранее определённого годового фонда времени работы оборудования:

$$\Pi_{\Gamma} = F_{9} / t_{\text{mit}}. \tag{4}$$

Представленные выше исходные значения позволяют получить расчётную величину: $\Pi_{\Gamma \cdot \delta a3.} = 2054/1,89 = 1086$ деталей для базового технологического процесса и $\Pi_{\Gamma \cdot \Pi p.} = 2054/0,76 = 2700$ деталей для проектного технологического процесса. На основании анализа потребности отрасли в рассматриваемом оборудовании принимаем размер годовой программы для проектного варианта технологии и базового варианта технологии $\Pi_{\Gamma} = 1000$ деталей в год.

Требуемое количество технологического оборудования определяем с учётом ранее рассчитанного штучного времени для проектного варианта технологии и базового варианта технологии. При этом следует учесть коэффициент выполнения нормы $K_{\text{вн}} = 1,03$. Выполняем расчёт:

$$n_{\text{pacq}} = t_{\text{mt}} \cdot \prod_{\Gamma} / (F_{3} \cdot K_{\text{BH}}). \tag{5}$$

Представленные выше исходные значения позволяют получить расчётную величину: $n_{\text{расч}} = 1,89 \cdot 1000/(2054 \cdot 1,03) = 0,9$ для базового варианта технологического процесса; $n_{\text{расч}} = 0,76 \cdot 1000/(2054 \cdot 1,03) = 0,4$ для проектного варианта технологического процесса.

В дальнейшем при выполнении экономических расчётов количество оборудования для выполнения операций базового технологического процесса принимаем n=1. Количество оборудования для выполнения операций проектного технологического процесса принимаем n=1. На основании этого выполним расчёт коэффициента загрузки оборудования К₃ для базового и проектного вариантов технологии:

$$K_9 = n_{\text{pac}4} / n. \tag{6}$$

Представленные выше исходные значения позволяют получить расчётную величину: $K_3 = 0.9/1 = 0.9$ для базового варианта технологического процесса и $K_3 = 0.4/1 = 0.4$ для проектного варианта технологического процесса.

Значение величины коэффициента загрузки оборудования K_3 для проектного и базового вариантов технологического процесса в дальнейшем понадобятся для расчёта капитальных затрат на построение технологии.

При расчётах следует принимать во внимание, что производительность в проектной технологии по сравнению с базовой технологией значительно увеличилась. Это приводит либо к уменьшению количества применяемого оборудования, либо к уменьшению коэффициента загрузки оборудования. В настоящей выпускной квалификационной работе уменьшается количество используемого оборудования.

4.4 Расчёт заводской себестоимости при осуществлении операций технологического процесса по рассматриваемым вариантам

Выполнение операций проектного технологического процесса и операций базового технологического процесса происходят с применением расходных материалов, затраты на которые рассчитываются в зависимости от коэффициента транспортно-заготовительных расходов $K_{\rm r3}$, цены материалов $I_{\rm m}$ и нормы расходов материалов $I_{\rm m}$ по формуле:

$$M = \coprod_{M} \cdot H_{D} \cdot K_{T-3}. \tag{7}$$

Представленные выше исходные значения позволяют получить расчётную величину: $M=270\cdot0,48=129,6$ рублей для операций базового технологического процесса; для операций проектного технологического процесса: $M=310\cdot0,448+90\cdot0,213=158,05$ рублей.

Величина основной заработной платы рассчитается на основании штучного времени $t_{\text{шт}}$, часовой тарифной ставки $C_{\text{ч}}$ и коэффициента доплат $K_{\text{д}}$, который для рассматриваемой выпускной квалификационной работы принимается равным $K_{\text{д}} = 1,88$:

$$3_{\text{och}} = t_{\text{IIIT}} \cdot C_{\text{q}} \cdot K_{\text{II}}. \tag{8}$$

Представленные выше исходные значения позволяют получить расчётную величину: $3_{\text{осн}} = 1,89 \cdot 200 \cdot 1,88 = 710,64$ рублей для базового варианта технологического процесса и $3_{\text{осн}} = 0,76 \cdot 200 \cdot 1,88 = 285,76$ рублей для проектного варианта технологического процесса.

Величина дополнительной заработной платы $3_{\text{доп}}$ рассчитывается в зависимости от рассчитанной выше основной заработной платы $3_{\text{осн}}$ и коэффициента доплат $K_{\text{доп}}$, который для рассматриваемой выпускной квалификационной работы принимается равным $K_{\text{доп}} = 12$ %:

$$3_{\text{доп}} = 3_{\text{осн}} \cdot K_{\text{доп}} / 100.$$
 (9)

Представленные выше исходные значения позволяют получить расчётную величину: $3_{\text{доп}} = 710,64 \cdot 12/100 = 85,28$ рублей для операций

базового технологического процесса и $3_{\text{доп}} = 285,76 \cdot 12/100 = 34,29$ рублей для операций проектного технологического процесса.

Величина фонда заработной платы $\Phi 3\Pi$ рассчитывается как сумма основной заработной платы $3_{\text{осн}}$ и дополнительной заработной платы $3_{\text{доп}}$. Представленные выше исходные значения позволяют получить расчётную величину: $\Phi 3\Pi = 710,64 + 85,28 = 795,92$ рублей для операций базового технологического процесса и $\Phi 3\Pi = 285,76 + 34,29 = 320,05$ рублей для операций проектного технологического процесса.

Отчисления на социальные нужды O_{ch} рассчитываем с учётом коэффициента отчислений на социальные нужды K_{ch} , который для рассматриваемой выпускной квалификационной работы принимается равным $K_{ch} = 34$ %:

$$O_{cH} = \Phi 3\Pi \cdot K_{cH}/100.$$
 (10)

Представленные выше исходные значения позволяют получить расчётную величину: $O_{ch} = 795,92\cdot34/100 = 270,61$ рублей для операций базового технологического процесса и $O_{ch} = 320,05\cdot34/100 = 108,82$ рублей для операций проектного технологического процесса.

Величину затрат на оборудование 3_{ob} определяем расчётным путём на основании амортизационных отчислений A_{ob} и затрат на электрическую энергию P_{ob} :

$$3_{06} = A_{06} + P_{33}. (11)$$

При вычислении амортизационных отчислений $A_{o \bar o}$ следует учитывать норму амортизации H_a , которая для рассматриваемой выпускной квалификационной работы составляет $H_a = 21,5$ %. Также в расчёт включено машинное время $t_{\text{маш}}$, которое ранее было рассчитано для операций проектной и базовой технологий. В формулу включены также эффективный годовой фонд времени работы оборудования F_a и цена оборудования $U_{o \bar o}$.

$$A_{o6} = \frac{\coprod_{o6} \cdot H_a \cdot t_{\text{маш}}}{F_3 \cdot 100}. \tag{12}$$

Представленные выше исходные значения позволяют получить расчётную величину: $A_{oб.} = 200000 \cdot 21,5 \cdot 1,89/2054/100 = 39,57$ рублей по базовому варианту технологии, по проектному варианту технологии: $A_{oб.} = 600000 \cdot 21,5 \cdot 0,76/2054/100 = 47,73$ рублей.

Затраты на электрическую энергию при выполнении операций по проектному технологическому процессу рассчитываются с учётом мощности оборудования $M_{\text{уст}}$, кпд оборудования, машинного времени $t_{\text{маш}}$ и стоимости электрической энергии для предприятий \coprod_{39} :

$$P_{99} = M_{\text{vcr}} \cdot t_{\text{маш}} \cdot \coprod_{99} / K \Pi \coprod.$$
 (13)

Представленные выше исходные значения позволяют получить расчётную величину: $P_{99} = 25 \cdot 1,89 \cdot 3,4/0,7 = 203,85$ рублей для базового варианта технологического процесса, $P_{99} = 40 \cdot 0,76 \cdot 3,4/0,85 = 108,01$ рублей для проектного технологического процесса.

После подстановки рассчитанных выше значений в формулу (11) вычисляем затраты на оборудование: $3_{o6} = 39,57 + 203,85 = 243,39$ рублей по базовому технологическому процессу и $3_{o6} = 47,73 + 108,01 = 155,74$ рублей по проектному технологическому процессу.

Размер технологической себестоимости $C_{\text{тх}}$ определяется исходя из ранее определённых значений затрат на материалы M, отчислений на социальные нужды $O_{\text{сн}}$, фонда заработной платы $\Phi 3\Pi$, затрат на оборудование $3_{\text{об}}$:

$$C_{\text{Tex}} = M + \Phi 3\Pi + Occ + 3_{Ob}$$
. (14)

Представленные выше исходные значения позволяют получить расчётную величину: $C_{\text{тех}} = 129 + 796 + 271 + 243 = 1439$ рублей для базового варианта технологического процесса, и для проектного технологического процесса $C_{\text{тех}} = 158 + 320 + 109 + 156 = 743$ рублей.

Размер цеховой себестоимости $C_{\text{цех}}$ определяется исходя из ранее определённой технологической себестоимости $C_{\text{тех}}$, коэффициента цеховых расходов $K_{\text{цех}}$ и основной заработной платы $3_{\text{осн}}$:

$$C_{\text{Hex}} = C_{\text{Tex}} + 3_{\text{och}} \cdot K_{\text{Hex}}. \tag{15}$$

Представленные выше исходные значения позволяют получить расчётную величину: $C_{\text{цех}} = 1439 + 1,5.711 = 1439 + 1067 = 2506$ рублей для базового технологического процесса и для проектного технологического процесса $C_{\text{пех}} = 743 + 1,5.286 = 743 + 429 = 1172$ рублей.

Размер заводской себестоимости $C_{\text{зав}}$ определяется исходя из ранее определённой цеховой себестоимости $C_{\text{цех}}$, коэффициента заводских расходов и основной заработной платы $3_{\text{осн}}$:

$$C_{3aB} = C_{IJex} + 3_{och} \cdot K_{3aB}.$$
 (16)

Представленные выше исходные значения позволяют получить расчётную величину $C_{\text{зав}} = 2506 + 1,15.711 = 2506 + 818 = 3324$ рублей для базового варианта технологии, и для проектного технологического процесса $C_{\text{зав}} = 1172 + 1,15.286 = 1172 + 329 = 1501$ рублей.

В таблице 17 представлена калькуляция заводской стоимости выполнения операций по базовому варианту технологического процесса и проектному варианту технологического процесса.

Таблица 17 — Исходные данные и расчёт заводской стоимости при выполнении операций согласно базового технологического процесса и согласно проектного технологического процесса

		Калькуляция, руб.	
Показатель	Условное	Базовый	Проектный
	обозначение	вариант	вариант
1. «Затраты на материалы	M	129	158
2. Фонд заработной платы	ФЗП	796	320
3. Отчисления на соц. нужды	O_{CH}	271	109
4. Затраты на оборудование	3об	243	156
5. Технологическая себестоимость	CTex	1439	743
6. Цеховые расходы	Рцех	1067	429
7. Цеховая себестоимость	Сцех	2506	1172
8. Заводские расходы	Рзав	818	329
9. Заводская себестоимость» [12]	C_{3B}	3324	1501

Данные, представленные в таблице 11, позволяют судить о высокой эффективности проектной технологии, которая позволяет уменьшить

заводскую себестоимость относительно базовой технологии. Дальнейшие работы направлены на определение величины капитальных вложений при реализации проектной технологии и реализации базовой технологии. Далее будут вычислены экономические показатели предлагаемых решений и сделан вывод об эффективности внедрения этих решений в производственный процесс.

4.5 Капитальные затраты при реализации проектного и базового вариантов технологии

Вычисляем капитальные затраты $K_{\text{общ. 6.}}$ на реализацию технологического процесса по базовому варианту. Расчёт следует выполнять с учётом коэффициента загрузки оборудования K_p и остаточной стоимости оборудования $\coprod_{\text{об. 6.}}$

Величину остаточной стоимости оборудования определяем с учётом рыночной стоимости аналогичного нового оборудования \coprod_{nepb} , срока службы оборудования \coprod_{cn} и нормы амортизационных отчислений \coprod_a :

$$\coprod_{\text{oб.6.}} = \coprod_{\text{перв.}} - (\coprod_{\text{перв}} \cdot T_{\text{с.7}} \cdot H_a / 100). \tag{17}$$

Представленные выше исходные значения позволяют получить расчётную величину $\coprod_{0.6.6.} = 200000 - (200000 \cdot 3 \cdot 21,5/100) = 71000$ рублей.

Капитальные затраты по базовой технологии могут быть рассчитаны как:

$$\mathbf{K}_{\text{общ. б.}} = \mathbf{\coprod}_{\text{об.б}} \cdot \mathbf{K}_{3.6.}. \tag{18}$$

Представленные выше исходные значения позволяют получить расчётную величину $K_{\text{обш. 6.}} = 1.71000.0,90 = 63900$ рублей.

Расчёт капитальных затрат $K_{\text{общ.пр.}}$ при реализации проектной технологии требует учёта капитальных вложений в производственные площади $K_{\text{пл.пр.}}$, сопутствующих затрат $K_{\text{соп}}$ и капитальных затрат на оборудование $K_{\text{об.пр}}$:

$$K_{\text{общ. пр.}} = K_{\text{об. пр.}} + K_{\text{пл. пр.}} + K_{\text{соп.}}$$
 (19)

Величина капитальных затрат на оборудование для реализации проектного варианта технологического процесса рассчитывается с учётом коэффициента транспортно-заготовительных расходов, значение которого для настоящей выпускной квалификационной работы составило $K_{\tau 3}=1,05$, цены оборудования \coprod_{06} и коэффициента загрузки оборудования \coprod_{3} :

$$\mathbf{K}_{\text{of.np.}} = \mathbf{\coprod}_{\text{of. np.}} \cdot \mathbf{K}_{\text{r3}} \cdot \mathbf{K}_{\text{3II}}. \tag{20}$$

Представленные выше исходные значения позволяют получить расчётную величину $K_{\text{об.пр.}} = 600000 \cdot 1,05 \cdot 0,4 = 252000\,$ рублей.

Величина сопутствующих затрат K_{con} рассчитывается с учётом расходов на демонтаж $P_{дем}$ оборудования по базовому технологическому процессу и монтаж $P_{мон}$ оборудования по проектному технологическому процессу.

Расходы на демонтаж с учётом коэффициента расходов на демонтаж оборудования $K_{\text{дем}} = 0.05$ рассчитываются как

$$P_{\text{dem}} = \coprod_{\text{of. f.}} K_{\pi}. \tag{21}$$

Представленные выше исходные значения позволяют получить расчётную величину $P_{\text{лем}} = 1.200000.0,05 = 10000$ рублей.

Расходы на монтаж с учётом коэффициента расходов на монтаж оборудования $K_{\text{мон}} = 0.05$ рассчитываются как

$$P_{\text{монт}} = \coprod_{\text{об. пр. }} K_{\text{м}}. \tag{22}$$

Представленные выше исходные значения позволяют получить расчётную величину $P_{\text{монт}} = 600000 \cdot 0,05 = 30000$ рублей.

Величина сопутствующих расходов определяется как

$$P_{\text{con}} = P_{\text{дем}} + P_{\text{монт}}.$$
 (23)

Представленные выше исходные значения позволяют получить расчётную величину $P_{\text{con}} = 10000 + 30000 = 40000$ рублей.

Далее с использованием подставленных в формулу (19) значений получили общие капитальные затраты $K_{\text{общ. пр.}}=252000+40000=292000$ рублей.

Расчёт дополнительных капитальных вложений $K_{\text{доп}}$ проводим с учётом капитальных затрат для проектной технологии $K_{\text{общ,пр}}$ и капитальных затрат по базовой технологии $K_{\text{общ б}}$:

$$K_{\text{доп}} = K_{\text{обшпр}} - K_{\text{обшб}}. \tag{24}$$

Представленные выше исходные значения позволяют получить расчётную величину $K_{\text{доп}} = 292000 - 63900 = 228100$ рублей.

Величину удельных капитальных вложений определяем с учётом годовой программы $\Pi_{\rm r}$:

$$K_{VJI} = K_{OOIII} / \Pi_{\Gamma}. \tag{25}$$

Представленные выше исходные значения позволяют получить расчётную величину $K_{yд}=63900/1000=63,9$ рублей за единицу продукции по базовой технологии и $K_{yд}=292000/1000=252\,$ рублей за единицу продукции по проектной технологии.

4.6 Показатели экономической эффективности

Для выполнения экономического обоснования настоящей выпускной квалификационной работы рассчитаем основные показатели эффективности.

Снижение трудоемкости $\Delta t_{\text{шт}}$ рассчитывается как

$$\Delta t_{\text{IIIT}} = (t_{\text{IIIT } 6} - t_{\text{IIIT } np}) \cdot 100 \% / t_{\text{IIIT } 6}$$
 (26)

Представленные выше исходные значения позволяют получить расчётную величину $\Delta t_{\text{шт}} = (1,89-0,76) \cdot 100 \% / 1,89 = 60 \%$.

Повышение производительности $\Pi_{\scriptscriptstyle T}$ рассчитывается как

$$\Pi_{\rm T} = 100 \cdot \Delta t_{\rm mit} / (100 - \Delta t_{\rm mit}). \tag{27}$$

Представленные выше исходные значения позволяют получить расчётную величину $\Pi_{\scriptscriptstyle T}=100\cdot60/(100-60)=150$ %.

Уменьшение технологической себестоимости $\Delta C_{\text{тех}}$ рассчитывается как

$$\Delta C_{\text{Tex}} = (C_{\text{Tex.fi.}} - C_{\text{Tex.fip.}}) \cdot 100\% / C_{\text{Tex.fi.}}$$
 (28)

Представленные выше исходные значения позволяют получить расчётную величину $\Delta C_{\text{тех}} = (1439 - 734) \cdot 100\%/1439 = 48\%$.

Размер условно-годовой экономии $\Pi_{\text{ож}}$ рассчитывается как

$$\Pi_{\text{ож}} = \mathcal{Y}_{\text{yr}} = (C_{\text{3ab.6}} - C_{\text{3ab.np}}) \cdot \Pi_{\text{r}}. \tag{29}$$

Представленные выше исходные значения позволяют получить расчётную величину $\Pi_{\text{ож}} = (3324 - 1501) \cdot 1000 = 1823000$ рублей.

Длительность срока окупаемости предлагаемых мероприятий $T_{\text{ок}}$ составляет:

$$T_{ok} = K_{gon} / \Im_{vr}. \tag{30}$$

Представленные выше исходные значения позволяют получить расчётную величину $T_{\rm ok} = 228100 \, / \, 1823000 = 0,2$ года.

Величина годового экономического эффекта $\mathfrak{I}_{\scriptscriptstyle \Gamma}$ рассчитывается как

$$\mathfrak{I}_{\Gamma} = \mathfrak{I}_{y\Gamma} - \mathfrak{E}_{H} \cdot \mathfrak{K}_{DO\Pi}. \tag{31}$$

Представленные выше исходные значения позволяют получить расчётную величину $\Im \Gamma = 1823000 - 0.33 \cdot 228100 = 1748000$ руб.

Таким образом, с учётом особенностей выполнения операций технологического процесса по проектному варианту и базовому варианту был выполнен расчёт основных экономических показателе производства.

Производительность труда повышается на 150 %. Уменьшение технологической себестоимости составило 48 %. При этом за счёт повышения производительности труда и снижения издержек удалось получить годовой экономический эффект в размере 1,75 млн. рублей. Средства, затраченные на внедрение предлагаемых в настоящей выпускной квалификационной работе решений, будут окуплены за 0,2 года.

Заключение

Настоящая выпускная квалификационная работа посвящена решению вопроса повышения эффективности восстановления элементов запорной арматуры.

В результате анализа известных решений по рассматриваемому вопросу обоснован выбор способа восстановления, в качестве которого для построения проектной технологии предлагается применить плазменно-порошковую наплавку.

Укрупнённо проектный технологический процесс восстановления вала условно разделить на шесть операций. Первой технологического процесса является подготовка дефектного участка на детали. Выполнение этой операции происходит с применением моечной машины и дробеструйной камеры. Вторая операция технологического процесса – предварительный подогрев, который происходит с применением печи СНО. Третья операция технологического процесса – плазменная наплавка, которая происходит с применением установки для плазменнопорошковой наплавки. Четвёртая операция технологического процесса термическая обработка, которая происходит с применением термической печи СНО. Пятая операция технологического процесса – механическая обработка, которая происходит с применением токарного станка. Шестая технологического процесса – контроль качества, выполняется с применением набора для визуально-измерительного контроля, твердомера и дефектоскопа.

При анализе опасных и вредных производственных факторов, которые сопровождают выполнение операций проектного технологического процесса, идентифицированы негативные производственные факторы, предложены технические средства и организационные мероприятия по защите от них.

Выполнена оценка проектной технологии на предмет обеспечения экологической безопасности. Предложены организационные мероприятия по

защите окружающей среды от возникающих при реализации проектной технологии негативных антропогенных факторов.

Проведенные экономические расчёты позволяют судить о высокой эффективности предлагаемых в настоящей выпускной квалификационной работе решениях. Производительность труда повышается на 150 %. Уменьшение технологической себестоимости составило 48 %. При этом за счёт повышения производительности труда и снижения издержек удалось получить годовой экономический эффект в размере 1,75 млн. рублей. Средства, затраченные на внедрение предлагаемых в настоящей выпускной квалификационной работе решений, будут окуплены за 0,2 года.

Таким образом, внедрение предлагаемых в настоящей выпускной квалификационной работе решений в производство позволяет получить доказанный расчётным путём экономический эффект. Доказана экономическая и технологическая эффективность предлагаемых в настоящей выпускной квалификационной работе решений.

На основании вышеизложенного следует считать поставленную цель выпускной квалификационной работы достигнутой.

Результаты настоящей выпускной квалификационной работы рекомендуются к внедрению на предприятиях, которые выполняют восстановление элементов запорной арматуры.

Результаты настоящей выпускной квалификационной работы могут быть перенесены на случай восстановительной наплавки деталей машин с применением плазменных технологий. Это объясняется тем, что предложенные оборудование и технологический процесс применимы не только к рассматриваемым в настоящей выпускной работе деталям, но и к другим изнашиваемым деталям машин.

Список используемой литературы и используемых источников

- 1. Белов С. В. Охрана окружающей среды. М. : Машиностроение, 1990. 372c.
- 2. Богомолова Н. А. Практическая металлография. М.: Высшая школа, 1978. 272 с.
- 3. Голов Р.С., Сорокин А.Е., Мельник А.В., Рожков И.В. Основные технологические и маркетинговые тенденции развития сварочного производства // Сварочное производство. 2016. № 11. С. 46–51.
- 4. Горина Л. Н. Обеспечение безопасных условий труда на производстве: учебное пособие. Тольятти: ТолПИ, 2000. 68 с.
- 5. Гульянц Г. М. Противовыбросовое оборудование скважин, стойкое к сероводороду: Справ. пособие. М.: Недра, 1991. 348 с.
- 6-. Гуревич Д. Ф., Шпаков О. Н. Справочник конструктора трубопроводной арматуры. Л.: Машиностроение, 1987. 517 с.
- 7. Еремин Е. Н., Еремин А. Е., Филиппов Ю. О. Разработка порошковой проволоки для наплавки запорной арматуры // Омский научный вестник. 2014. № 2. С. 45–47.
- 8. Еремина А.Е. Еремин Е. Н., Филиппов Ю О. Структура и свойства высокохромистого металла запорной арматуры, наплавленного серийно выпускаемыми сварочными проволоками // Омский научный вестник. 2014. № 1. С. 55–58.
- 9. Жадкевич М. Л., Переплётчиков Е. Ф., Пузырин Л. Г. Расчет толщины наплавленного слоя на деталях задвижек нефтегазовой арматуры высокого давления // Автоматическая сварка. 2007. № 5. С. 59–62.
- 10. Климов А. С. Выпускная квалификационная работа бакалавра: учебно-метод. пособие по выполнению выпускной квалификационной работы бакалавра. Тольятти: ТГУ, 2021. 62 с.
- 11. Крампит А. Г., Крампит Н. Ю., Габитов Э. К. Модернизация сварочного оборудования как решение приоритетной задачи по

- импортозамещению // Технологии и материалы: технический научнопроизводственный журнал. 2016. № 6. С. 18–23.
- 12. Краснопевцева И. В. Экономическая часть дипломного проекта : метод. указания. Тольятти : ТГУ, 2008. 38 с.
- 13. Кудинова Г. Э. Организация производства и менеджмент : метод. указания к выполнению курсовой работы. Тольятти : ТГУ, 2005. 35 с.
- 14. Мау В. А., Улюкаев А. В. Глобальный кризис и тенденции экономического развития // Вопросы экономики. 2014. № 11. С. 15–21.
- 15. Мазур А.А., Маковецкая О.К., Пустовойт С.В., Петрук В.С. Экономико-статистический обзор мирового и региональных рынков сварочных материалов // Автоматическая сварка. 2019. № 9. С. 45–51.
- 16. Маковецкая О.К. Состояние и тенденции развития мирового рынка основных конструкционных материалов и сварочной техники // Автоматическая сварка. 2015. № 10. С. 54–61.
- 17. Пат. 2356715 РФ, МПК Н 04 В 1/38, Н 04 J 13/00. Порошковая проволока / Еремин Е. Н., Еремин А. Е., Филиппов Ю. О. Заявл. 07.04.00; опубл. 27.05.09, Бюл. № 15. 3 с.
- 18. Переплетчиков Е. Ф., Рябцев И. А. Плазменно-порошковая наплавка деталей запорной арматуры различного назначения // Автоматическая сварка. 2007. № 4. С. 57–61.
- 19. Рябцев, И.А. Влияние исходной структуры и гранулометрического состава порошка на структуру металла 10Р6М5, наплавленного плазменно-порошковым способом / И.А. Рябцев, Е.Ф. Переплётчиков, И.В. Миц, И.А. Бартенев // Автоматическая сварка. 2007. № 10. С. 23–27.
- 20. Савельев В.А., Сорогина Т.П. Влияние технологии обработки на структуру и свойства запорной арматуры из стали 20X13 // Вестник КГУ. 2010. № 1. С. 106–107.
- 21. Смирнов И. В. Сварка специальных сталей и сплавов : учебное пособие. Тольятти : ТГУ, 2007. 301 с.

- 22. Сорокин В. Г., Волосникова А. В., Вяткин С. А. Марочник сталей и сплавов. М. : Машиностроение, 1989. 640 с.
- 23. Татаринов Е. А. Лазерная наплавка элементов запорной арматуры // Известия Тульского государственного технического университета. 2015. № 11. С. 101–107.